

1. Быховский А.И. Растворение. К., 1983. 2. Волков Б.Н., Воляк Л.Д. К вопросу о расчете капиллярной постоянной // Журн. физ. хим. 1972. Т. 46. №4. С.1025-1026. 3. Кисиль И.С., Фабри Л.П. Учет влияния формы менска на результаты измерения поверхностного напряжения по методу максимального давления в газовом пузырьке // Журн. физ. хим. 1974. Т.48. №7. С.1532-1533. 4. Кисиль И.С., Малько А.Г., Дранчук М.М. О точности измерения поверхностного напряжения по методу максимального давления в газовом пузырьке // Журн. физ. хим. 1981. Т. 55. №2.

C.318-326. 5. Dugne J. Mesure de la tension superficielle par la methode de la pression maximale de bulle / Rapport CEA-R-4240. Paris: Gif-sur-Yvette, 1971. 6. Feustel R. Über Kapillaritätskonstanten und ihre Bestimmung nach der Methode des Maximaldruckes kleiner Blasen // Ann. der Physik. 1905. Т. 16. S.61-92. 7. Schrödinger E. Notiz über der Kapillardruck im Gasblasen // Ann. der Physik. 1915. Т. 46. S.413-418. 8. Sugden S. The determination of surface tension from the maximum pressure in bubbles. Part I. // J. Chem. Soc. 1922, Vol. 121. P.858-866.

УДК 541.1 + 681.2

ВІЗНАЧЕННЯ КРАЙОВОГО КУТА ЗМОЧУВАННЯ НА ГРАНИЦІ РОЗДІЛЕННЯ ТВЕРДЕ ТІЛО-РІДИНА МЕТОДОМ МАКСИМАЛЬНОГО ТИСКУ В ГАЗОВОМУ ПУХИРЦІ

© 1997, Р.Т.Боднар

Івано-Франківський державний технічний університет нафти і газу

В статті проаналізовано переваги і недоліки різних методів визначення крайового кута змочування. Вибрано визначення крайового кута змочування за методом максимального тиску в газовому пухирці, утворюваного в досліджуваній рідині в контакти з досліджуваним твердим тілом. З цією метою математично змодельовано на основі рівняння Лапласа форму пухирця, яка пов'язана з тиском всередині пухирця і з крайовим кутом змочування. Одержані диференціальні рівняння розв'язано за методом Рунге-Кутта, а чисельні результати розв'язку були зведені до простоти аналітичної залежності косинуса крайового кута змочування від максимального тиску в пухирці.

Явище адгезії та змочування має важливе значення в багатьох процесах, а саме поліграфії, фарбуванні, склеюванні, флотації, нанесенні покрить, паянні, зварюванні, бурінні, нафтovidобуванні тощо. Параметром, який характеризує змочування, є крайовий кут змочування (ККЗ) на межі поділу трьох фаз: твердим тілом - рідину - газом. Чим меншим є ККЗ, тим краще відбуваються вищезгадані процеси. Інформація про величину ККЗ дає можливість ще на стадії розробки оптимально вибрати як рецептуру, так і компонентний склад розчинів, а також твердих тіл, які повинні входити в систему. Як бачимо вимірювання крайового кута змочування є актуальною проблемою, але, незважаючи на це, серйоні прилади для вимірювання ККЗ в даний час відсутні. Дослідники в своїх експериментах користуються прямими вимірюваннями ККЗ на фотознімках крапель рідини на твердому тілі або за збільшеними зображеннями цих крапель за допомогою проектора на екран [2, 4, 9, 11]. Ці методи є прості, доступні, але не оперативні, дають інформацію тільки про дві точки із усього периметра

контакту краплі із твердим тілом, не дають можливості вивчати кінетику процесу і автоматизувати процес вимірювань. Величина ККЗ, визначена такими способами не має методичної похибки, а тільки інструментальну. Точність вимірювань, в принципі, визначається прецизійністю вимірювальних та оптичних вузлів. Але висока точність інструментів у цих методах і не потрібна, тому що периметр змочування та точка зходження контуру краплі з поверхнею підкладки (крапля рідини та підкладка з досліджуваного твердого тіла — дві компоненти взаємодіючої системи) не визначаються з достатньою точністю. Окрім того, різні значення ККЗ, у різних точках периметра змочування значно коливаються через енергетичну неоднорідність твердої поверхні, шорсткість поверхні, наявність механічних та хімічних забруднень [4, 9].

Останні чинники обмежують точність визначення ККЗ і іншими геометричними методами (наприклад, за вимірюванням висоти та діаметра в максимальному перерізі лежачої краплі). Але й у цьому випадку вимірювання

треба проводити в різних меридіальних площин нахилі, а результати усереднювати.

Окрім вищезгаданих геометричних методів вимірювання ККЗ існують і методи, основані на вимірюванні фізичних параметрів капілярних менісків:

- вимірювання ваги і глибини занурення твердого тіла різної форми в досліджувану рідину [4, 6, 9, 11];

- метод флотації [9];

- метод максимального тиску в газовому пухирці (МТГП) [1].

З метою розробки приладу для вимірювання ККЗ були теоретично проаналізовані різні методи визначення ККЗ і здійснено математичне моделювання менісків.

Багато методів визначення поверхневих параметрів на межі рідина-газ чи рідина-рідина тісю чи іншою мірою базуються на вивчені менісків, зокрема, осесиметричних менісків-фаз, обмежених поверхнями обертання. Це пов'язано з тим, що, по-перше, саме цей тип менісків найбільш легко реалізується в лабораторних умовах; по-друге, при наявності обертальної симетрії достатнім є аналіз не всієї поверхні, а тільки її меридіана, тобто плоскої кривої, яка утворює дану поверхню при її обертанні навколо деякої осі.

Під меніском розуміють одну (звичайно меншу за об'ємом) із двох флюїдних фаз (газ-рідина), яка обмежена викривленою поверхнею поділу цих фаз. Якщо поверхня має обертальну симетрію, то меніск називають осесиметричним. Фазу меніска позначають буквою α , а навколоїшній флюїд — β .

Кривизну поверхні в даній точці можна охарактеризувати за допомогою кривизни двох площин кривих, які перетинаються. Ці криві з результатом перетину двох взаємно перпендикулярних площин, які орієнтовані нормальню до поверхні в даній точці A. Кривизна кожної з цих кривих залежить від напряму перетинів. Але завжди існують такі перетини, в яких значення кривизни для одної кривої буде максимальним, а для другої — мінімальним. Ці особливі значення кривизни називаються головними кривизнами поверхні у даній точці і саме вони (K_1 і K_2) фігурують у формулі Лапласа [1, 5, 6]:

$$p_\alpha - p_\beta = \sigma(K_1 - K_2), \quad (1)$$

де p_α — надлишковий тиск всередині меніска на рівні т. A; p_β — надлишковий тиск зовні меніска на

рівні т. A; σ — коефіцієнт поверхневого натягу; K_1 , K_2 — головні кривизни поверхні меніска в т. A.

При вивчені параметрів часто використовують різні типи згорнутих осесиметричних менісків, якими є меніски лежачої краплі на горизонтальній поверхні твердого тіла, висячої краплі під поверхнею твердого тіла, притисненої бульбашки під горизонтальною поверхнею твердородого тіла, а також інші типи менісків, наприклад, типу мостиців між двома твердими поверхнями.

Для згорнутих менісків початок декартових координат зручно вибрати у вершині меніска, тобто в місці перетину поверхні обертання з її віссю (вісь Z), а саму вісь направити всередину меніска (рис.1). Термін "вершина" вживався незалежно від того чи є точка перетину осі найвищою чи найнижчою точкою меніска.

Меридіальна кривизна поверхні осесиметричного меніска визначається як [2, 8]

$$K_1 = \frac{d\phi}{dS}, \quad (2)$$

де ϕ — кут нахилу дотичної в даній точці меридіана (рис. 1); S — довжина дуги.

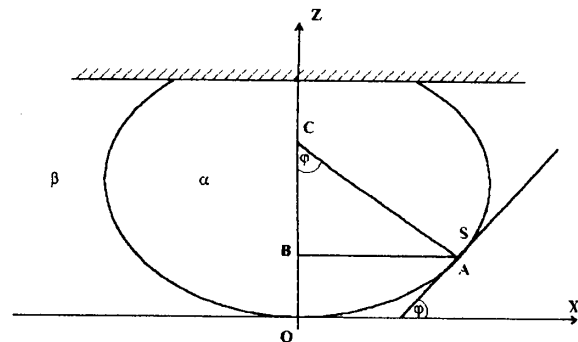


Рис.1. Меридіанний профіль меніска притисненої бульбашки.

Другу головну кривизну K_2 можна виразити через кривизну паралелі згідно з теоремою Менеє, в якій стверджується, що відхилення кривизни кривих в даній точці A (рис.2) в нормальному та похиленому перетинах дорівнюють косинусові кута між ними [7].

$$K_2 = K_3 \cos \angle CAB = K_3 \cos(90^\circ - \phi) = K_3 \sin \phi, \quad (3)$$

оскільки

$$K_3 = \frac{1}{R_3} = \frac{1}{X}, \quad (4)$$

то азимутальна кривизна (іноді її називають циліндричною) буде

$$K_2 = \frac{\sin \phi}{X} = \frac{1}{R_2}. \quad (5)$$

Підставивши вирази (2) та (5) у рівняння Лапласа (1), одержимо

$$\left(\frac{d\phi}{dS} + \frac{\sin \phi}{X} \right) \sigma = (\rho_{o\alpha} - \rho_{o\beta}) \pm (\rho_\alpha - \rho_\beta) g Z. \quad (6)$$

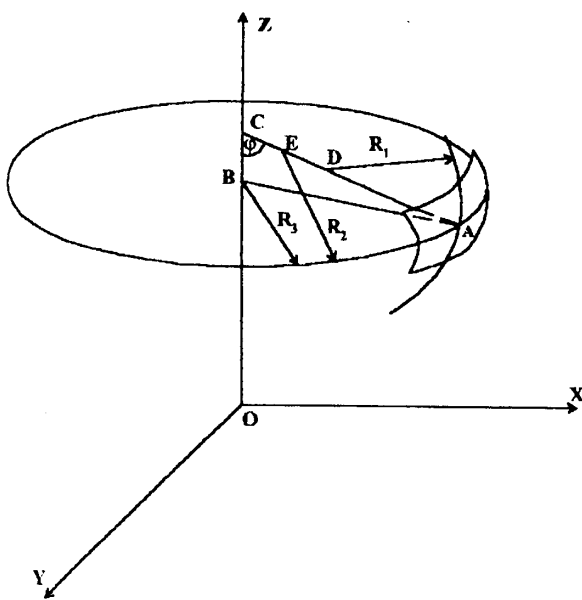


Рис.2. Радіуси кривизни елемента поверхні меніска.

У цьому рівнянні знак «+» відповідає лежачій краплі і витягнутому пухирцю, а знак «-» – висячій краплі і притиснутому пухирцю, тому що в перших двох випадках напрям осі Z збігається, а в двох інших – протилежний до напрямку сил тяжіння. На основі цього і, поділивши рівняння (6) на σ , одержимо

$$\frac{d\phi}{dS} + \frac{\sin \phi}{X} = \frac{\rho_{o\alpha} - \rho_{o\beta}}{\sigma} - \frac{\rho_\alpha - \rho_\beta}{\sigma} g Z. \quad (7)$$

Якщо ввести позначення

$$\frac{1}{2} \left(\frac{\rho_\alpha - \rho_\beta}{\sigma} g \right) = \frac{1}{a^2}, \quad (8)$$

тобто

$$a = \sqrt{\frac{2\sigma}{(\rho_\alpha - \rho_\beta)g}} = \sqrt{\frac{2\sigma}{\Delta \rho g}}, \quad (9)$$

то одержимо рівняння Лапласа у вигляді

$$\frac{d\phi}{dS} + \frac{\sin \phi}{X} = \frac{\Delta P}{\sigma} - \frac{2}{a^2} Z, \quad (10)$$

Введене значення a є капілярною сталаю, яка має розмір довжини і визначає вплив сили тяжіння на форму капілярних поверхонь. Якщо розмір капілярної поверхні (меніска) набагато менший від значення a , то впливом сили тяжіння на форму меніска можна знехтувати. Наприклад, для води капілярна стала становить $a \approx 3,85$ мм, значить, радіуси кривизни водяних менісків повинні бути

$$R < 0,5 \text{ мм}. \quad (11)$$

Якщо розглянути рівняння (10) у вершині пухирця, тобто візьмемо граничний перехід при $X \rightarrow 0$ і $Z \rightarrow 0$, то члени рівняння набудуть значень:

$$\frac{d\phi}{dS} \rightarrow K_{10}, \quad \frac{\sin \phi}{X} \rightarrow K_{20}, \quad \frac{2}{a^2} Z \rightarrow 0, \quad (12)$$

Але в вершині меніска кривизни однакові: $K_{10} = K_{20} = K_0$. Звідси

$$\frac{\Delta P}{\sigma} = 2K_0. \quad (13)$$

З урахуванням (13) рівняння (10) матиме вигляд:

$$\frac{d\phi}{dS} + \frac{\sin \phi}{X} = 2K_0 - \frac{2}{a^2} Z, \quad (14)$$

Ввівши позначення

$$S_\delta = \frac{S}{a}, \quad \beta = \frac{1}{K_0^2 a^2}, \quad Z_\delta = \frac{Z}{a}, \quad X_\delta = \frac{X}{a},$$

одержимо диференціальне рівняння, яке описує висячу краплю або притиснений пухирець у безрозмірній формі

$$\frac{d\phi}{dS_\delta} + \frac{\sin \phi}{X_\delta} = \frac{2}{\sqrt{\beta}} - 2Z_\delta. \quad (15)$$

Інші параметри меніска визначають з рис.1.

$$\frac{dX_\delta}{dS_\delta} = \cos \phi, \quad \frac{dZ_\delta}{dS_\delta} = \sin \phi. \quad (16)$$

Диференціали об'єму та площині поверхні осесиметричного меніска, враховуючи інтегральні формули об'єму V та площині A тіл обертання, матимуть такий вигляд:

$$\frac{dA_\delta}{dS_\delta} = 2\pi X_\delta, \quad \frac{dV_\delta}{dS_\delta} = \pi X_\delta^2 \frac{dZ_\delta}{dS_\delta} = \pi X_\delta^2 \sin \phi, \quad (17)$$

Вирази (15) – (17) утворюють систему диференціальних рівнянь, які сумісно описують осесиметричні поверхні менісків. Цю систему можна розв'язати разом із початковими умовами

$$Z_\delta = X_\delta = \phi = A_\delta = V_\delta = 0, \text{ при } S_\delta = 0, \quad (18)$$

для фіксованого значення β , яке фактично визначає форму поверхні меніска, і тим самим

визначити геометричні форми притиснутого пухирця для кожного заданого значення β .

Для розв'язку одержаних рівнянь застосовано метод Рунге-Кутта [3, 10]. Похибка обчислення під час використання даного методу р-го порядку дорівнює $k \cdot h^{p+1}$, де k - постійне значення, h - крок інтегрування.

Основною метою розв'язання системи диференціальних рівнянь (15)-(17) було визначити залежність між краївим кутом змочування і максимальним тиском на лінії зрізу ножового капіляра. Потрібний тиск буде дорівнювати: $P_{max} = K + Z \cdot a$, де всі значення подані в безрозмірній формі, K - приведена кривизна меніска.

Вихідними геометричними параметрами є радіус капіляра (величина r/a), відстань від зрізу капіляра до поверхні твердого тіла (приведене значення Z/r). Вихідним фізичним параметром для визначення параметрів газового пухирця, тобто координат його лінії меридіанного перерізу, с заданий краївий кут змочування Θ .

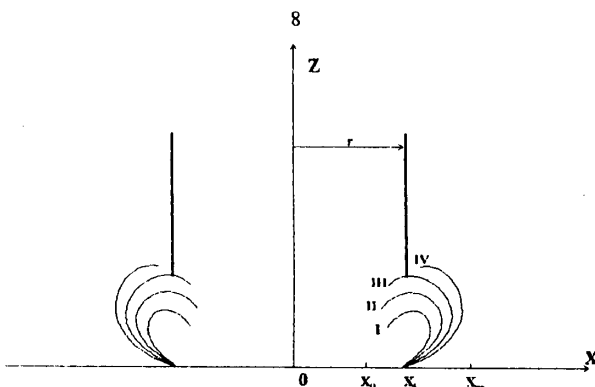


Рис.3. Моделювання поверхні пухирця, утворюваного з ножового капіляра до твердої поверхні.

При розв'язуванні даної задачі були визначені декілька особливостей, які впливають на вигляд поверхні. Локальною задачею при розрахунку тиску була задача визначення такої поверхні, яка б з'єднувала точку x_i на поверхні твердого тіла і край зрізу ножового капіляра (рис.3). Для цього вибирали точки x_i в інтервалі $x_0 \leq x_i \leq x_m$, де $x_0 = 0,7r$ і $x_m = 1,5r$. У цьому інтервалі x_i приймає значення

$$x_i = x_0 + i \frac{x_m - x_0}{20}. \quad (19)$$

Далі обчислюємо в кожній точці x_i кривизну K з рівнянь (15)-(17). Визначивши наближено

точку максимальної кривизни, звужували інтервал і уточнювали значення максимальної кривизни. У результаті для конкретних значень вказаних параметрів $Z/r=0,5$, $a^2/r^2=1,2, \dots, 10$ і $\Theta=0 \dots 180^\circ$ були одержані значення максимальної кривизни, тобто значення максимального тиску P_{max} на рівні торців ножових капілярів і відповідні значення $\cos\Theta$.

Отже, для відомого дискретного значення $a^2/r^2=1,2, \dots, 10$ і одержаних внаслідок обчислень таблиць можна визначити ККЗ у вигляді $\cos\Theta$. Однак така методика є незручною, оскільки вимагає екстраполяції як за параметром a^2/r^2 , так і $\cos\Theta$, що з затрудньючим чинником і призводить до значних похибок у розрахунках.

У зв'язку з цим була розроблена методика розрахунку значення $\cos\Theta$ на основі вимірювання, а потім приведеного в безрозмірну форму тиску P_{max} . Для кожного з конкретних значень a^2/r^2 шляхом апроксимації методом найменших квадратів були отримані коефіцієнти C_0, C_1, C_2 залежності

$$\cos\Theta = C_0 + C_1 P_{max} + C_2 P_{max}^2. \quad (20)$$

Значення коефіцієнтів C_0, C_1 і C_2 для будь-яких значень параметра a^2/r^2 , відмінних від вузлових в діапазоні від 1 до 10, розраховують за допомогою апроксимації і інтерполяції сплайн-функціями третього порядку.

Проведений метрологічний аналіз такої методики показав, що наведена методика розрахунку $\cos\Theta$ таким чином не перевищує 0,37 %.

1. А.с. 767623(СССР) Способ измерения краевого угла смачивания. Авт. изобр. / Н.А. Макаревич // Бюл. изобрет., 1980. N 36.
2. Адамсон А. Физическая химия поверхности / Пер. с англ. М., 1979.
3. Бахвалов Н.С. Численные методы. М., 1975.
4. Зимон А. Д. Адгезия жидкости смачивание. М., 1974.
5. Кисиль И.С. Методы и приборы контроля качества растворов поверхности-активных веществ путем измерения поверхностного и межфазного напряжений. Автореф. ... докт. техн. наук. М., 1991.
6. Малько А.Г. Методы и прибор для определения поверхностных свойств веществ по измеренному давлению в жидкостном менске. Автореф. ... канд. техн. наук. М., 1985.
7. Погорелов А.В. Дифференциальная геометрия. М., 1974.
8. Русанов А.И., Прохоров В.А. Межфазная тензиометрия. С.-Петербург, 1994.
9. Сумм Б.Д., Горюнов Ю.В. Физико-химические основы смачивания и растворения. М., 1976.
10. Шриффер Э. Обработка сигналов: цифровая обработка дискретизированных сигналов / Пер. с нем. К., 1995.
11. Fischer L. R. Measurement of Small Contact Angles for Sessile Drops // J. Col. Inter. Sci. 1979, Vol. 72, N 2. P.200-205.